

# ANALISIS KERUNTUHAN WADUK KWUWIL – KAWANGKOAN DENGAN MENGGUNAKAN BANTUAN PROGRAM HEC- RAS

Ronaldo Toar Palar

Isri R Mangangka, Cindy J. Supit.

Prodi S2 Teknik Sipil Pascasarjana Universitas Sam Ratulangi  
email: ronaldo.palar@gmail.com

## ABSTRAK

*Fungsi utama Waduk Kuwil Kawangkoan adalah sebagai pengendalian banjir, penyimpanan dan pengaturan pasokan air guna kebutuhan domestik dan industri. Disamping memiliki manfaat yang besar, juga memiliki ancaman bencana apabila terjadi keruntuhan baik secara overtopping maupun piping.*

*Analisis untuk memperoleh informasi mengenai daerah genangan dari simulasi keruntuhan Waduk Kuwil menggunakan program HEC-RAS. Hasil analisis Daerah genangan air untuk Kecamatan Paldua dengan luas genangan 8,27 km<sup>2</sup> tinggi air 0,003-83,038 m, Kecamatan Tikala luas daerah tergenang 3,15 km<sup>2</sup> tinggi muka air 0,003 – 83,038 m, Desa Kuwil luas daerah genangan 2,21 km<sup>2</sup> tinggi muka air 0,67 – 29,02 m, Kecamatan Wenang 2,06 km<sup>2</sup> tinggi muka air 0,003 – 83,038 m, Kecamatan Singkil dengan daerah yang tergenang 1,79 km<sup>2</sup> ketinggian muka air 0,003 – 83,038 m, Kecamatan Tumiting daerah yang tergenang 0,73 km<sup>2</sup> tinggi muka air 0,003 – 83,038 m, Kecamatan Sario daerah yang tergenang 0,44 km<sup>2</sup> tinggi muka air 0,003 -83,038 m dan Kecamatan Wanea dengan daerah genangan 0,26 km<sup>2</sup> tinggi muka air 0,157 – 9,83 m.*

**Kata kunci :** genangan, keruntuhan waduk, HEC-RAS, overtopping, piping

## PENDAHULUAN

### Latar Belakang

Waduk Kuwil Kawangkoan berfungsi utama sebagai pengendalian banjir serta penyimpanan dan pengaturan pasokan air guna kebutuhan domestik dan industri yang akan melayani kebutuhan air di kota Bitung, Kota Manado serta KAPET Manado-Bitung yang merupakan salah satu kawasan strategis Nasional (KSN), disamping memiliki manfaat yang besar juga memiliki ancaman bencana apabila terjadi keruntuhan.

Pada umumnya keruntuhan waduk disebabkan karena terjadinya *overtopping*, yaitu melimpasnya air melalui puncak bendungan. Penyebab lain keruntuhan bendungan adalah *piping*, yaitu mengalirnya air melalui lubang-lubang pada tubuh atau pondasi bendungan. Karena keruntuhan waduk akan mengakibatkan timbulnya banyak korban jiwa, harta benda, fasilitas umum, dan kerusakan lingkungan yang sangat parah didaerah hilir akibatnya dapat menggenangi daerah/kawasan yang banyak terdapat fasilitas umum.

### Tujuan Penelitian

Berdasarkan hal tersebut, maka perlu dilakukan suatu analisis untuk memperoleh informasi mengenai daerah genangan berdasarkan hasil simulasi keruntuhan Waduk Kuwil dengan menggunakan program HEC-RAS.

## TINJAUAN PUSTAKA

Berdasarkan latar belakang masalah dan judul yang diangkat, maka ada beberapa teori yang melandasi penelitian ini yaitu, pertama Teori Hidrologi yang memerlukan suatu perhitungan analisis frekuensi curah hujan, perhitungan limpasan aliran dan debit banjir. Kedua Analisa hidrologi sungai, yang bertujuan untuk menganalisa profil muka air banjir di sungai dari debit banjir serta memetakan daerah genangan akibat keruntuhan bendung.

Lahamendu (2019) dalam penelitiannya tentang Analisis Pengaruh Pembangunan Waduk Kuwil-Kawangkoan terhadap Debit Banjir di Hilir Sungai Tondano menyatakan bahwa waduk akan mereduksi banjir secara

optimal apabila elevasi air dalam waduk tidak melebihi ketinggian low water level atau elevasi 87 meter ketika terjadi banjir, sehingga disarankan bagi instansi terkait pengelolaan waduk untuk menjaga elevasi tinggi muka air waduk tetap pada low water level ketika kemungkinan akan terjadinya banjir.

Widiantoro (2017) dalam penelitiannya Penelusuran Banjir akibat Keruntuhan Bendungan Kadumalik Jawa Barat merupakan salah satu proyek Ditjen Sumber Daya Air (SDA) Kementerian Pekerjaan Umum dan Perumahan Rakyat (PUPR). Pembangunan konstruksi bendungan bertujuan untuk memenuhi kebutuhan air yang beragam, akan tetapi bendungan juga dapat menimbulkan bencana banjir pada daerah hilir apabila terjadi keruntuhan. Pada penelitian ini dilakukan penelusuran banjir akibat keruntuhan Bendungan Kadumalik yang bertujuan untuk mendapatkan perilaku banjir akibat keruntuhan bendungan dalam rangka mitigasi bencana banjir akibat keruntuhan Bendungan Kadumalik.

Keruntuhan Bendungan Kadumalik dimodelkan secara 1D dengan HECRAS versi 4.1.0. Keruntuhan bendungan disimulasikan terjadi akibat overtopping dan piping. Simulasi keruntuhan dibagi menjadi tiga skenario untuk setiap tipe keruntuhan. Skenario bentuk keruntuhan tipe overtopping dan piping sama, yang membedakan saat menentukan durasi keruntuhan di setiap skenario keruntuhannya.

Ofanata dan Ruzardi (2018) melakukan Analisis Aliran Akibat Keruntuhan Bendungan Gonggang dengan Menggunakan HEC-RAS 4.1.0 menyatakan bahwa hasil simulasi keruntuhan bendungan menunjukkan debit puncak banjir dengan kecepatan banjir yang tinggi karena topografi Bendungan Gonggang yang memiliki kemiringan yang curam dan berbentuk v.

Hasil simulasi menunjukkan Bendungan Gonggang berada pada tingkat keamanan yang cukup tinggi terhadap limpasan akibat overtopping, Bendungan Gonggang terjadi overtopping apabila terjadi debit inflow sebesar 4,3x QPMF. Pada simulasi dengan overtopping menghasilkan banjir yang besar pada daerah hilir bendungan sebelum bendungan mengalami keruntuhan, hal ini karena debit inflow yang digunakan sebesar 4,3x QPMF melebihi kapasitas tampang Sungai Gonggang.

### **Uji Data Hujan Outlier**

Sebelum data curah hujan dianalisa untuk mendapatkan curah hujan rancangan, terlebih dahulu dilakukan uji data outlier, untuk mengetahui apakah ada data curah hujan yang ekstrim karena kelalaian dalam pencatatan atau terjadi kondisi ekstrim. Uji data outlier dilakukan untuk data outlier tinggi rendah dengan syarat-syarat sbb:

- Uji outlier tinggi terlebih dahulu jika:  
 $CsLog > 0.4$
- Uji outlier rendah terlebih dahulu jika:  
 $CsLog < -0.4$
- Uji outlier tinggi dan rendah sekaligus jika:  
 $-0.4 < CsLog < 0.4$

### **Penentuan Hujan Kawasan**

Dalam analisis hidrologi sering diperlukan untuk menentukan hujan rerata pada daerah tinjauan, ada tiga metode untuk menentukan hujan rerata, antara lain :

1. Metode rerata aritmatik
2. Metode poligon Thiesen
3. Metode Isohiet

### **Distribusi Probabilitas Curah hujan**

Dalam analisis frekuensi data hujan atau data debit guna memperoleh nilai hujan rencana atau debit rencana, dikenal beberapa distribusi probabilitas kontinu yang sering digunakan yaitu: Gumbel, Normal, Log Normal, dan Log Pearson Tipe III.

Dalam penentuan jenis distribusi probabilitas yang sesuai dengan data harus dilakukan pengujian dengan menggunakan parameter statistik. Terdapat parameter-parameter yang dapat membantu dalam menentukan jenis sebaran yang tepat.

Parameter-parameter tersebut dibagi dalam 4 (empat) bagian besar pengukuran yaitu, pengukuran *central tendency*, pengukuran variabilitas, pengukuran kemencenggan (skewness), dan pengukuran keruncingan (kurtosis).

Tabel 1. Parameter distribusi

| No | Distribusi      | Persyaratan   |
|----|-----------------|---|
| 1. | Gumbel          | $C_s = 1,14$<br>$C_k = 5,4$   |
| 2. | Normal          | $C_s = 0$<br>$C_k = 3$  |
| 3. | Log Nomal       | $C_s = C_v^{-3} + 3C_v$<br>$C_k = C_v^{-8} + 6C_v^{-6} + 15C_v^{-4} + 16C_v^{-2} + 3$ |
| 4. | Log Pearson III | Selain dari nilai diatas  |

### Debit Banjir Rencana

Banjir rencana adalah debit maksimum yang dipakai sebagai dasar untuk perhitungan debit sehingga bisa digunakan untuk ukuran bangunan yang kita rencanakan berdasarkan periode kala ulang. Dalam menentukan besarnya debit banjir sungai yaitu berdasarkan data curah hujan perlu ditinjau hubungan antara hujan dan aliran sungai.

Besarnya debit di dalam sungai dapat ditentukan dari besarnya hujan, intensitas hujan, luas daerah hujan, lama waktu hujan, luas DAS dan ciri-ciri daerah itu, dengan demikian debit banjir rencana dapat dihitung. Dalam menganalisis debit banjir rencana digunakan bantuan program HEC-HMS

### Program HEC-HMS

Software HEC-HMS dirancang untuk menghitung proses hujan aliran suatu sistem DAS. Software ini dikembangkan oleh *Hydrologic Engineering Center* (HEC) dari *US Army Corps of Engineering*. Di dalam pemodelan HEC-HMS ini, terdapat beberapa metode perhitungan limpasan (*runoff*) yang dapat digunakan, yaitu (*HEC-HMS Technical Reference Manual*, 2000:38):

1. *The initial and constant-rate loss model*,
2. *The deficit and constant-rate loss model*,
3. *The SCS curve number (CN) loss model (composite or gridded)*, dan
4. *The Green and Ampt loss model*.

### Program HEC-RAS

HEC-RAS merupakan aplikasi untuk memodelkan aliran di sungai, River Analysis System (RAS), software ini dibuat oleh Hydrologic Engineering Center (HEC) yang merupakan satu divisi di dalam Institut for Water Resources (IWR) (Istiarto, 2014). HEC-RAS merupakan software satu dimensi aliran permanen maupun tak permanen (steady and unsteady one dimensional flow model). HECRAS memiliki empat komponen analisa hidraulika satu dimensi untuk :

1. Hitungan profil muka air aliran permanen,
2. Simulasi aliran tak permanen,
3. Hitungan transport sedimen,
4. Hitungan kualitas air.

### Koefisien Kekasarahan Manning

Brunner (2010) nilai koefisien kekasaran manning sangat bervariasi dan bergantung pada beberapa faktor seperti:

1. kekasaran permukaan,

2. vegetasi,
3. ketidakteraturan saluran,
4. alinyemen saluran,
5. penggerusan dan deposisi,
6. struktur penghambat,
7. ukuran dan bentuk dari saluran,
8. tinggi muka air dan debit,
9. perubahan musim,
10. temperature.

Pemilihan nilai koefisien kekasaran manning berpengaruh pada hasil komputasi profil muka air. Chow (1959) dalam Brunner (2010) memberikan angka minimum, normal, dan maksimum

### Parameter Keruntuhan Bendungan

Keruntuhan bendungan diawali dengan rekanan (breach) yang terbentuk pada tubuh bendungan. Rekanan adalah bukaan yang terbentuk pada proses runtuhan tubuh bendungan. Mekanisme keruntuhan bendungan tidak dapat dipahami dan diperkirakan dengan baik.

Keruntuhan bendungan dapat disimulasikan dengan anggapan bendungan runtuhan secara total dan mendadak. Asumsi rekanan total dan secara mendadak ini digunakan untuk mempermudah jika diterapkan dalam teknik matematika untuk menganalisis gelombang banjir dari keruntuhan bendungan.

Beberapa badan Pemerintah Federal Amerika Serikat telah mempublikasikan petunjuk penentuan angka kisaran parameter keruntuhan bendungan yang mungkin terjadi. Apabila hasil parameter yang diperoleh dari pendekatan persamaan regresi tidak sesuai dengan kondisi topografi dan geologi lapangan, maka kisaran angka yang telah ditetapkan tersebut dapat digunakan sebagai batas minimum dan maksimum untuk mengestimasi parameter keruntuhan bendungan. Prediksi dalam menentukan parameter keruntuhan bendungan ditunjukkan pada Tabel 2 dibawah ini.

Tabel 2. Parameter keruntuhan

| Tipe Bendungan           | Lebar Rata Rata Rekanan | Kemiringan Rekanan (H:V) | Waktu Keruntuhan (jam) | Badan Federal |
|--------------------------|-------------------------|--------------------------|------------------------|---------------|
| <i>Erthrem-Erosifill</i> | (0,5-3,0)mHD            | 0 - 1,0                  | 0,5 - 4,0              | USACE         |
|                          | (1,0-5,0)mHD            | 0 - 1,0                  | 0,1 - 1,0              | FERC          |
|                          | (2,0-5,0)mHD            | 0 - 1,0 (digunakan juga) | 0,1 - 1,0              | NWS           |

(Sumber: Brunner, 2014)

HD : tinggi bendungan

## METODOLOGI PENELITIAN

### Gambaran Umum Lokasi Penelitian

Bendungan Kuwil direncanakan pada Sungai Tondano di sebelah hilir PLTA Tanggari II, tepatnya terletak di desa Kuwil, Kecamatan Kalawat, Kabupaten Minahasa Utara, Propinsi Sulawesi Utara dimana secara geografis terletak antara  $124^{\circ} 55' - 124^{\circ} 56'$  Bujur Timur dan  $1^{\circ} 26' - 1^{\circ} 27'$  Lintang Utara.

Kondisi Topografi di sekitar rencana bendungan merupakan daerah perbukitan dengan ketinggian berkisar antara 120 m sampai 125 m diatas permukaan laut.

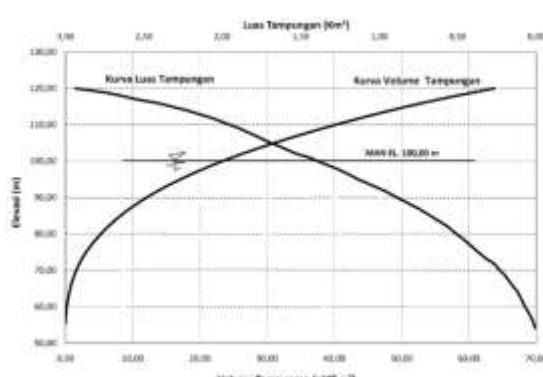
### Data Teknis Waduk Kuwil

#### Bendungan

- Tipe : Urugan Batu dengan Inti Tegak
- Tinggi bendungan: 65.00 m
- Lebar puncak: 11,00 m
- Panjang puncak: 345,00 m
- Elevasi puncak: El. 106 m
- Kemiringan lereng : Hulu : 1 : 3,00  
: Hilir : 1 : 2,50
- Volume timbunan: 2,737.600,00 m<sup>3</sup>

#### Bangunan Pelimpah (Spillway)

- Tipe : Kombinasi Pelimpah Bebas dan Berpintu
- Elevasi ambang bebas: El. 100,00 m
- Lebar Ambang bebas: 68,00 m  
(2@ 34,00 m)
- Elevasi Ambang berpintu: El. 95,50 m
- Lebar Ambang Berpintu: 11,00 m  
(2@ 5,50 m)
- Pintu Baja dengan roda tetap : 5,50 m (L)  
x 4,5 m (T), 2 set
- Stoplog Baja: 2 block @ 5,5 m (L)  
x 2,3 m (T), 1 set
- Panjang total: 295.00 m
- Panjang Peredam Energi: 40,00 m



Gambar 1. Hubungan antara elevasi, luas dan volume waduk Kuwil

Berdasarkan hasil survey Topografi di daerah genangan Waduk Kuwil maka didapatkan hubungan antara elevasi, luas dan volume waduk Kuwil seperti disajikan pada Gambar 1.

## ANALISIS DAN PEMBAHASAN

### Analisis Curah Hujan Rencana

Data curah hujan merupakan data sekunder yang diperoleh dari stasiun pencatat curah hujan yang terdekat dengan lokasi penelitian. Data yang digunakan adalah data curah hujan harian maksimum tahunan yang diambil dari stasiun Sawangan, Rumengkor dan Kaleosan, dimana stasiun tersebut adalah yang paling dekat dengan lokasi penelitian. Data yang dipakai berjumlah 15 data dengan 15 tahun pengamatan (2005-2019).

Rekapitulasi dari data curah hujan harian maksimum dapat dilihat pada Tabel 4.

Tabel 4. Data curah hujan maksimum

| Tahun | Stasiun  |           |          |
|-------|----------|-----------|----------|
|       | Sawangan | Rumengkor | Kaleosan |
| 2005  | 135.51   | 105.9     | 38.3     |
| 2006  | 81.36    | 63.6      | 74       |
| 2007  | 100.6    | 55.4      | 108      |
| 2008  | 130.8    | 82.1      | 70       |
| 2009  | 100.3    | 118.4     | 50.3     |
| 2010  | 123      | 104.5     | 76.1     |
| 2011  | 116      | 87.8      | 57       |
| 2012  | 110      | 111.5     | 90.2     |
| 2013  | 180.4    | 146.6     | 80.6     |
| 2014  | 110.5    | 183       | 170      |
| 2015  | 90       | 94.9      | 105      |
| 2016  | 70       | 76.2      | 478      |
| 2017  | 180      | 96        | 149      |
| 2018  | 76       | 78        | 103.5    |
| 2019  | 130      | 34        | 96       |

### Analisis Data Outlier

Selanjutnya dilakukan Uji outlier ketiga stasiun yaitu sebagai berikut:

#### a. Sta Sawangan

Tabel 5. Outlier Sta Sawangan

| No.                    | Tahun | X <sub>i</sub> (mm) | Log X <sub>i</sub> | (log X <sub>i</sub> - log X̄) | (log X <sub>i</sub> - log X̄) <sup>2</sup> | (log X <sub>i</sub> - log X̄) <sup>3</sup> |
|------------------------|-------|---------------------|--------------------|-------------------------------|--|--|
| 1                      | 2005  | 135.51              | 2.1320             | 0.0848                        | 0.0072                                     | 0.0006                                     |
| 2                      | 2006  | 81.36               | 1.9104             | -0.1368                       | 0.0187                                     | -0.0026                                    |
| 3                      | 2007  | 100.60              | 2.0026             | -0.0446                       | 0.0020                                     | -0.0001                                    |
| 4                      | 2008  | 130.80              | 2.1166             | 0.0694                        | 0.0048                                     | 0.0003                                     |
| 5                      | 2009  | 100.30              | 2.0013             | -0.0459                       | 0.0021                                     | -0.0001                                    |
| 6                      | 2010  | 123.00              | 2.0899             | 0.0427                        | 0.0018                                     | 0.0001                                     |
| 7                      | 2011  | 116.00              | 2.0645             | 0.0173                        | 0.0003                                     | 0.0000                                     |
| 8                      | 2012  | 110.00              | 2.0414             | -0.0058                       | 0.0000                                     | 0.0000                                     |
| 9                      | 2013  | 180.40              | 2.2562             | 0.2091                        | 0.0437                                     | 0.0091                                     |
| 10                     | 2014  | 110.50              | 2.0434             | -0.0038                       | 0.0000                                     | 0.0000                                     |
| 11                     | 2015  | 90.00               | 1.9542             | -0.0929                       | 0.0086                                     | -0.0008                                    |
| 12                     | 2016  | 70.00               | 1.8451             | -0.2021                       | 0.0408                                     | -0.0083                                    |
| 13                     | 2017  | 180.00              | 2.2553             | 0.2081                        | 0.0433                                     | 0.0090                                     |
| 14                     | 2018  | 76.00               | 1.8808             | -0.1664                       | 0.0277                                     | -0.0046                                    |
| 15                     | 2019  | 130.00              | 2.1139             | 0.0668                        | 0.0045                                     | 0.0003                                     |
| Jumlah                 |       | 1734.47             | 30.7076            | 0.0000                        | 0.2056                                     | 0.0031                                     |
| Mean (log X̄) = 2.0472 |       |                     |                    |                               |  |  |

Sumber: Hasil Olahan

### b. Sta Rumengkor

Tabel 6. Outlier Sta Rumengkor

| No.                      | Tahun | $X_i$ (mm) | Log $X_i$ | $\log X_i - \log \bar{X}$ | $\log \bar{X} - \log X_i$ | $\log \bar{X} - \log \bar{X}$ |
|--------------------------|-------|------------|-----------|---------------------------|---------------------------|-------------------------------|
| 1                        | 2005  | 105.90     | 2.0249    | 0.0710                    | 0.0050                    | 0.0004                        |
| 2                        | 2006  | 63.60      | 1.8035    | -0.1505                   | 0.0226                    | -0.0034                       |
| 3                        | 2007  | 55.40      | 1.7435    | -0.2104                   | 0.0443                    | -0.0093                       |
| 4                        | 2008  | 82.10      | 1.9143    | -0.0396                   | 0.0016                    | -0.0001                       |
| 5                        | 2009  | 118.40     | 2.0734    | 0.1194                    | 0.0143                    | 0.0017                        |
| 6                        | 2010  | 104.50     | 2.0191    | 0.0652                    | 0.0043                    | 0.0003                        |
| 7                        | 2011  | 87.80      | 1.9435    | -0.0104                   | 0.0001                    | 0.0000                        |
| 8                        | 2012  | 111.50     | 2.0473    | 0.0934                    | 0.0087                    | 0.0008                        |
| 9                        | 2013  | 146.60     | 2.1661    | 0.2122                    | 0.0450                    | 0.0096                        |
| 10                       | 2014  | 183.00     | 2.2625    | 0.3085                    | 0.0952                    | 0.0294                        |
| 11                       | 2015  | 94.90      | 1.9773    | 0.0233                    | 0.0005                    | 0.0000                        |
| 12                       | 2016  | 76.20      | 1.8820    | -0.0720                   | 0.0052                    | -0.0004                       |
| 13                       | 2017  | 96.00      | 1.9823    | 0.0283                    | 0.0008                    | 0.0000                        |
| 14                       | 2018  | 78.00      | 1.8921    | -0.0618                   | 0.0038                    | -0.0002                       |
| 15                       | 2019  | 37.78      | 1.5772    | -0.3767                   | 0.1419                    | -0.0535                       |
| Jumlah                   |       | 1441.68    | 29.3088   | 0.0000                    | 0.3933                    | -0.0247                       |
| Mean (log $X$ ) = 1.9539 |       |            |           |                           |                           |                               |

Sumber: Hasil Olahan

### c. Sta Kaelosan

Tabel 7. Outlier Sta Kaelosan

| No.                      | Tahun | $X_i$ (mm) | Log $X_i$ | $\log X_i - \log \bar{X}$ | $\bar{X} - \log X_i$ | $\bar{X} - \log \bar{X}$ |
|--------------------------|-------|------------|-----------|---------------------------|----------------------|--------------------------|
| 1                        | 2005  | 38.30      | 1.5832    | -0.3923                   | 0.1539               | -0.0604                  |
| 2                        | 2006  | 74.00      | 1.8692    | -0.1063                   | 0.0113               | -0.0012                  |
| 3                        | 2007  | 108.00     | 2.0334    | 0.0579                    | 0.0344               | 0.0002                   |
| 4                        | 2008  | 70.00      | 1.8451    | -0.1304                   | 0.0170               | -0.0022                  |
| 5                        | 2009  | 50.30      | 1.7016    | -0.2740                   | 0.0750               | -0.0206                  |
| 6                        | 2010  | 76.10      | 1.8814    | -0.0941                   | 0.0889               | -0.0008                  |
| 7                        | 2011  | 57.00      | 1.7559    | -0.2196                   | 0.0482               | -0.0106                  |
| 8                        | 2012  | 90.20      | 1.9552    | -0.0203                   | 0.0004               | 0.0000                   |
| 9                        | 2013  | 80.60      | 1.9063    | -0.0692                   | 0.0048               | -0.0003                  |
| 10                       | 2014  | 170.00     | 2.2304    | 0.2549                    | 0.0650               | 0.0166                   |
| 11                       | 2015  | 105.00     | 2.0212    | 0.0457                    | 0.0221               | 0.0001                   |
| 12                       | 2016  | 278.03     | 2.4441    | 0.4686                    | 0.2196               | 0.1029                   |
| 13                       | 2017  | 149.00     | 2.1732    | 0.1977                    | 0.0391               | 0.0077                   |
| 14                       | 2018  | 103.50     | 2.0149    | 0.0394                    | 0.0016               | 0.0001                   |
| 15                       | 2019  | 96.00      | 1.9823    | 0.0068                    | 0.0000               | 0.0000                   |
| Jumlah                   |       | 1546.03    | 29.3975   | -0.2353                   | 0.6502               | 0.0314                   |
| Mean (log $X$ ) = 1.9598 |       |            |           |                           |                      |                          |

Sumber: Hasil Olahan

## Penentuan Hujan Rerata Kawasan

Metode yang digunakan dalam penentuan hujan rerata kawasan adalah metode Poligon Thiessen, Dengan menggunakan bantuan program ARC-GIS diperoleh luas daerah yang mewakili stasiun hujan, yaitu sebagai berikut:

### a. DAS Tikala

Tabel 8: Luasan DAS Tikala

| Tahun | Stasiun  |           |          | total curah hujan maksimum |
|-------|----------|-----------|----------|----------------------------|
|       | Sawangan | Rumengkor | Kaelosan |                            |
|       | 24.36    | 17.51     | 40.56    |                            |
| 2005  | 3301.67  | 1854.35   | 1553.40  | 81.39                      |
| 2006  | 1982.32  | 1113.66   | 3001.36  | 73.97                      |
| 2007  | 2451.10  | 970.07    | 4380.36  | 94.64                      |
| 2008  | 3186.91  | 1437.60   | 2839.12  | 90.54                      |
| 2009  | 2443.79  | 2073.22   | 2040.11  | 79.54                      |
| 2010  | 2996.87  | 1829.83   | 3086.53  | 95.99                      |
| 2011  | 2826.32  | 1537.41   | 2311.85  | 80.98                      |
| 2012  | 2680.13  | 1952.40   | 3658.41  | 100.58                     |
| 2013  | 4395.41  | 2567.02   | 3269.04  | 124.12                     |
| 2014  | 2692.31  | 3204.39   | 6895.01  | 155.18                     |
| 2015  | 2192.83  | 1661.73   | 4258.68  | 98.42                      |
| 2016  | 1705.54  | 1334.29   | 11276.77 | 173.67                     |
| 2017  | 4385.66  | 1680.99   | 6043.27  | 146.90                     |
| 2018  | 1851.72  | 1365.81   | 4197.84  | 89.96                      |
| 2019  | 3167.42  | 661.62    | 3893.65  | 93.68                      |

Sumber: Hasil Olahan

### b. DAS Tondano

Tabel 9. Luasan DAS Tondano

| Tahun | Stasiun   |          | total curah hujan maksimum |
|-------|-----------|----------|----------------------------|
|       | Rumengkor | Kaelosan |                            |
|       | 78.45     | 107.68   |                            |
| 2005  | 8308.38   | 4124.02  | 66.79                      |
| 2006  | 4989.73   | 7968.08  | 69.62                      |
| 2007  | 4346.40   | 11629.10 | 85.83                      |
| 2008  | 6441.15   | 7537.38  | 75.10                      |
| 2009  | 9289.06   | 5416.14  | 79.00                      |
| 2010  | 8198.54   | 8194.21  | 88.07                      |
| 2011  | 6888.34   | 6137.58  | 69.98                      |
| 2012  | 8747.72   | 9712.45  | 99.18                      |
| 2013  | 11501.49  | 8678.75  | 108.42                     |
| 2014  | 14357.25  | 18305.06 | 175.48                     |
| 2015  | 7445.37   | 11306.06 | 100.74                     |
| 2016  | 5978.27   | 29937.90 | 192.96                     |
| 2017  | 7531.67   | 16043.84 | 126.66                     |
| 2018  | 6119.48   | 11144.55 | 92.75                      |
| 2019  | 2964.40   | 10336.97 | 71.46                      |

Sumber: Hasil Olahan

## Pemilihan Tipe Distribusi

| a. DAS Tondano |            |                     |                    |                           |
|----------------|------------|---------------------|--------------------|---------------------------|
| No             | Tipe       | Syarat              | Parameter          | Keterangan                |
| 1              | Normal     | $C_s \approx 0$     |                    | Tidak                     |
|                |            | $C_k \approx 3$     |                    | Mendekati                 |
| 2              | Log Normal | $C_s \approx 0.54$  | $C_s \approx 0.34$ | Tidak                     |
|                |            | $C_k \approx 3,52$  | $C_k \approx 2,98$ | Mendekati                 |
| 3              | Gumbel     | $C_s \approx 1,139$ | $C_s \approx 1,25$ | Tidak                     |
|                |            | $C_k \approx 5,4$   | $C_k \approx 4,96$ | mendekati                 |
| 4              | Log Person |                     |                    | Selain dari nilai di atas |
|                |            | III                 |                    |                           |

| b. DAS Tikala |            |                     |                    |                           |
|---------------|------------|---------------------|--------------------|---------------------------|
| No            | Tipe       | Syarat              | Parameter          | Keterangan                |
| 1             | Normal     | $C_s \approx 0$     |                    | Tidak                     |
|               |            | $C_k \approx 3$     |                    | Mendekati                 |
| 2             | Log Normal | $C_s \approx 0.54$  | $C_s \approx 0.98$ | Tidak                     |
|               |            | $C_k \approx 3,52$  | $C_k \approx 3,42$ | Mendekati                 |
| 3             | Gumbel     | $C_s \approx 1,139$ | $C_s \approx 1,42$ | Tidak                     |
|               |            | $C_k \approx 5,4$   | $C_k \approx 4,64$ | mendekati                 |
| 4             | Log Person |                     |                    | Selain dari nilai di atas |
|               |            | III                 |                    |                           |

Berdasarkan hasil tinjauan parameter-parameter statistic data pengamatan terhadap syarat batas parameter, maka tipe distribusi yang digunakan adalah Log Pearson III.

### Perhitungan Curah Hujan Rencana

Tabel 1. Curah hujan rencana untuk DAS Tikala

| T    | 1/T | Kt       | Sy      | $\hat{Y}$ | Ytr      | Xtr      |
|------|-----|----------|---------|-----------|----------|----------|
| 1000 | 0.1 | 4.361234 | 0.11302 | 2.007764  | 2.500669 | 316.7152 |

Tabel 2. Curah hujan rencana untuk DAS Tondano Outlet Waduk Kuwil

| T    | 1/T | Kt       | Sy       | $\hat{Y}$ | Ytr      | Xtr      |
|------|-----|----------|----------|-----------|----------|----------|
| 1000 | 0.1 | 3.620799 | 0.145028 | 1.976844  | 2.416985 | 261.2073 |

### Analisis Debit Banjir dengan HEC-HMS

Sebelum dilakukan perhitungan pemodelan HEC-HMS untuk debit banjir rencana, harus dilakukan kalibrasi model perhitungan, karena kalibrasi adalah proses untuk membandingkan debit observasi dilapangan dengan debit hasil perhitungan. Data yang dikalibrasikan adalah data Curve Number (CN):

#### DAS Tondano



#### DAS Tikala



Setelah dilakukan kalibrasi CN, selanjutnya dilakukan perhitungan debit banjir,

berikut adalah hasil perhitungan debit banjir dengan menggunakan program HEC-HMS:

#### a. DAS Tikala



#### b. Waduk Kuwil

Untuk perhitungan debit banjir untuk keruntuhan Waduk Kuwil berdasarkan *overtopping* dan *piping* digunakan parameter keruntuhan, adalah sebagai berikut :

##### Overtopping

| Tipe Keruntuhan berdasarkan rekahan | Tipe Keruntuhan berdasarkan waktu | Q1000   | QPMF    |
|-------------------------------------|-----------------------------------|---------|---------|
| 0,5HD = 32,5M                       | 30menit                           | 17043.9 | 19241.2 |
|                                     | 1 jam                             | 11059.8 | 14034.7 |
|                                     | 2 jam                             | 6324.1  | 9132.7  |
|                                     | 30menit                           | 22879.2 | 26028.4 |
|                                     | 1 jam                             | 12613.1 | 15285.2 |
|                                     | 2 jam                             | 7192.1  | 9901.1  |
| 1,5HD = 97,5M                       | 30menit                           | 22876.7 | 26441.7 |
|                                     | 1 jam                             | 13047.6 | 16175.8 |
|                                     | 2 jam                             | 7681    | 10257.9 |
|                                     | 30menit                           | 27175.3 | 28474   |
|                                     | 1 jam                             | 21736.6 | 24408.9 |
|                                     | 2 jam                             | 14010.3 | 15904.8 |

##### Piping

| Tipe Keruntuhan berdasarkan rekahan | Tipe Keruntuhan berdasarkan waktu | Piping  |         | Overtopping |         |
|-------------------------------------|-----------------------------------|---------|---------|-------------|---------|
|                                     |                                   | Q1000   | QPMF    | Q1000       | QPMF    |
| 0,5HD = 32,5M                       | 30menit                           | 13785.2 | 19385.9 | 17043.9     | 19241.2 |
|                                     | 1 jam                             | 10902.6 | 11918.4 | 11059.8     | 14034.7 |
|                                     | 2 jam                             | 8028.1  | 10671.7 | 6324.1      | 9132.7  |
|                                     | 30menit                           | 15650.7 | 17328.1 | 22879.2     | 26028.4 |
|                                     | 1 jam                             | 14637.4 | 17002.8 | 12798.8     | 15285.2 |
|                                     | 2 jam                             | 11387   | 13779.8 | 7187.5      | 9901.1  |
| 1,5HD = 97,5M                       | 30menit                           | 27175.3 | 28474   | 22876.7     | 26441.7 |
|                                     | 1 jam                             | 21736.6 | 24408.9 | 13047.6     | 16175.8 |
|                                     | 2 jam                             | 14010.3 | 15904.8 | 7681        | 10257.9 |
|                                     | 30menit                           | 27175.3 | 28474   | 22876.7     | 26441.7 |
|                                     | 1 jam                             | 21736.6 | 24408.9 | 13047.6     | 16175.8 |
|                                     | 2 jam                             | 14010.3 | 15904.8 | 7681        | 10257.9 |

### Analisis Pasang Surut

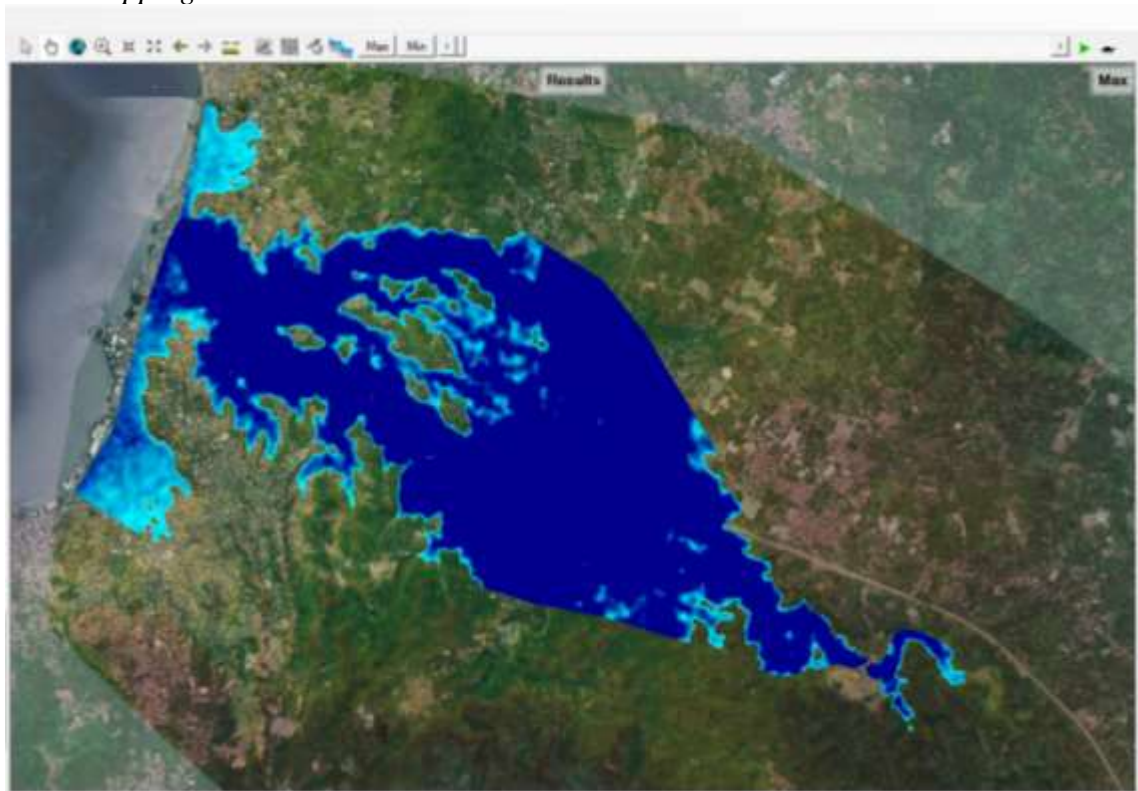
Metode yang digunakan untuk menganalisis pasang surut adalah menggunakan Metode Admiralty, dimana data yang digunakan adalah tanggal 01-29 Januari 2021. Dari perhitungan didapat :

| MSL=  | 0.04   | FORMZAHL= | 0.31   |
|-------|--------|-----------|--------|
| HHWL= | 269.35 | MHWL=     | 239.88 |
| LLWL= | 23.01  | MLWL=     | 52.49  |
| Zo =  | 146.18 |           |        |

### Pemodelan Daerah Genangan dengan HEC-RAS

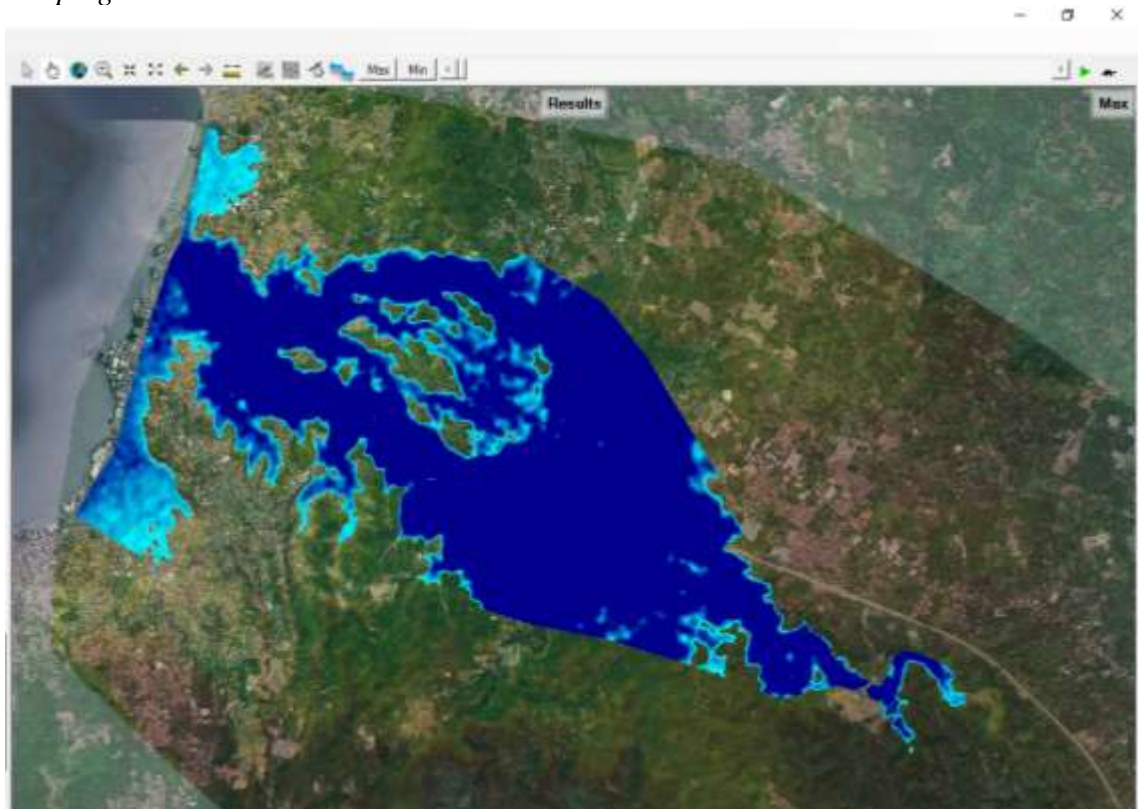
Dengan menggunakan program Hec – Ras 5.0.7 dilakukan pemodelan daerah genangan untuk keruntuhan Waduk Kuwil berdasarkan QPMF Overtopping dan Piping:

a. *Overtopping*



Sumber: Hasil olahan dengan HEC-RAS

b. *Piping*



Sumber: Hasil olahan dengan HEC-RAS

Berikut adalah hasil daerah genangan dari seluruh kelurahan di Manado yang terdampak:

Tabel 12. Daerah Genangan di Kota Manado

| Kelurahan          | Luas (km <sup>2</sup> )<br>Daerah<br>Tergenang | Kedalaman Air<br>(m) | Kecepatan<br>Aliran (m/dtk) |
|--------------------|--|----------------------|-----------------------------|
| Tikala Baru        | 0.78   | 0.55                 | 0.003 - 83.038              |
| Tikala Ares        | 0.33   | 0.33                 | 0.003 - 83.038              |
| Taas               | 2.53   | 0.55                 | 0.003 - 83.038              |
| Paal Empat         | 2.43   | 1.09                 | 0.003 - 83.038              |
| Banjer             | 0.86   | 0.63                 | 0.003 - 83.038              |
| Dendeng Dalam      | 0.72   | 0.69                 |                             |
| Dendeng Luar       | 0.45   | 0.37                 |                             |
| Kairagi Weru       | 1.45   | 1.26                 |                             |
| Paldua             | 2.99   | 2.31                 | 0.003 - 83.038              |
| Perkamil           | 0.72   | 0.61                 | 1.37 - 113.16               |
| Ranomut            | 1.59   | 1.18                 |                             |
| Malendeng          | 1.85   | 1.85                 |                             |
| Calaca             | 0.24   | 0.24                 |                             |
| Istiqual           | 0.10   | 0.10                 |                             |
| Komo Luar          | 0.06   | 0.06                 |                             |
| Lawangirung        | 0.24   | 0.24                 |                             |
| Mahakeret Barat    | 0.22   | 0.09                 |                             |
| Mahakeret Timur    | 0.18   | 0.05                 |                             |
| Pinaesaan          | 0.38   | 0.38                 | 0.003 - 83.038              |
| Teling Bawah       | 0.30   | 0.06                 | 1.23 - 113.16               |
| Tikala Kumaraka    | 0.23   | 0.23                 |                             |
| Wenang Selatan     | 0.45   | 0.07                 |                             |
| Wenang Utara       | 0.54   | 0.54                 |                             |
| Bumi Beringin      | 0.51   | 0.00                 |                             |
| Karambe            | 0.16   | 0.16                 |                             |
| Ketang Baru        | 0.09   | 0.09                 |                             |
| Kombos Barat       | 0.48   | 0.38                 |                             |
| Kombos Timur       | 1.97   | 0.43                 | 0.003 - 83.038              |
| Singkil I          | 0.65   | 0.25                 | 1.23 - 113.16               |
| Singkil II         | 1.11   | 0.05                 |                             |
| Ternate Baru       | 0.13   | 0.13                 |                             |
| Ternate Tanjung    | 0.12   | 0.12                 |                             |
| Wawonasa           | 0.18   | 0.18                 |                             |
| Bitung Karangria   | 0.36   | 0.21                 | 0.003 - 83.038              |
| Kampung Islam      | 0.40   | 0.24                 | 1.23 - 113.16               |
| Sindulang I        | 0.27   | 0.19                 |                             |
| Sindulang II       | 0.13   | 0.10                 |                             |
| Sario Utara        | 0.41   | 0.08                 | 0.003 - 83.038              |
| Titiwungan Utara   | 0.18   | 0.16                 | 0.07 - 1.15                 |
| Titiwungan Selatan | 0.23   | 0.20                 |                             |
| Tanjung Batu       | 0.58   | 0.26                 | 0.157 - 9,83                |
|                    |  |                      | 0.02 - 20.98                |

Sumber: Hasil Olahan

### Sistem Peringatan Dini

Sistem peringatan dini dilaksanakan, apabila alat pengukur ketinggian muka air Waduk Kuwil telah mencapai level siaga dan terus naik, maka status Waduk Kuwil harus ditingkatkan menjadi siaga. Sehingga Pemerintah dapat memberikan informasi kepada masyarakat untuk segera siap siaga.

### PENUTUP

#### Kesimpulan

Kesimpulan yang dapat diambil dari penelitian ini adalah:

1. Dari hasil simulasi keruntuhan waduk dengan menggunakan program HEC-RAS didapat daerah genangan yaitu Kecamatan

Paldua dengan luas genangan 8,27 Km<sup>2</sup> tinggi air 0,003-83,038 m dengan kecepatan 1,37 – 113,16 m/dtk dengan Kelurahan yang tergenang Dendeng Dalam daerah yang tergenang 0,69 km<sup>2</sup>, Dendeng Luar 0,37 km<sup>2</sup>, Kairagi Weru km<sup>2</sup>, Paldua 2,31 km<sup>2</sup>, Perkamil 0,61 km<sup>2</sup>, Ranomut 1,18 km<sup>2</sup>, dan Malendeng 1,85 km<sup>2</sup>, Kecamatan Tikala 3,15 Km<sup>2</sup> tinggi muka air 0,003 – 83,038 m dengan kecepatan 1 – 25,65 m/dtk dengan Kelurahan yang tergenang Tikala Baru 0,55 km<sup>2</sup>, Tikala Ares 0,33 km<sup>2</sup>, Paal Empat 1,09 km<sup>2</sup>, dan Banjer 0,63 km<sup>2</sup>, Desa Kuwil 2,21 Km<sup>2</sup> tinggi muak air 0,67 – 29,02 m dengan kecepatan 0,74 – 59,17m/dtk, Kecamatan Wenang 2,06 km<sup>2</sup> tinggi muka air 0,003 – 83,038 m dengan kecepatan 1,23 – 113,16 m/dtk dengan Kelurahan yang tergenang Calaca 0,24 km<sup>2</sup>, Istiqal 0,1 km<sup>2</sup>, Komo Luar 0,06 km<sup>2</sup>, Lawangirung 0,24 km<sup>2</sup>, Mahakeret Barat 0,09 km<sup>2</sup>, Mahakeret Timur 0,05 km<sup>2</sup>, Pinaesaan 0,38 km<sup>2</sup>, Teling Bawah 0,06 km<sup>2</sup>, Tikala Kumaraka 0,23 km<sup>2</sup>, Wenang Selatan 0,07 km<sup>2</sup>, Wenang Utara 0,54 km<sup>2</sup>, Kecamatan Singkil dengan daerah yang tergenang 1,79 Km<sup>2</sup> ketinggian muka air 0,003 – 83,038 m dengan kecepatan 1,23 – 113,16 m/dtk Kelurahan yang tergenang Karame 0,16 km<sup>2</sup>, Ketang Baru 0,09 km<sup>2</sup>, Kombos Barat 0,38 km<sup>2</sup>, Kombos Timur 0,43 km<sup>2</sup>, Singkil I 0,25 km<sup>2</sup>, Singkil II 0,05 km<sup>2</sup>, Ternate Baru 0,13 km<sup>2</sup>, Ternate Tanjung 0,12 km<sup>2</sup>, dan Wawonasa 0,18 km<sup>2</sup>, Kecamatan Tumiting daerah yang tergenang 0,73 Km<sup>2</sup> tinggi muka air 0,003 – 83,038 m dengan kecepatan 1,23 – 113,16 m/dtk kelurahan yang tergenang Bitung Karangria 0,21 km<sup>2</sup>, Kampung Islam 0,24 km<sup>2</sup>, Sindulang I 0,19 km<sup>2</sup>, dan Sindulang II 0,1 km<sup>2</sup>, Kecamatan Sario daerah yang tergenang 0,44 Km<sup>2</sup> tinggi muka air 0,003 -83,038 m dengan kecepatan 0,07 – 1,15 m/dtk kelurahan yang tergenang Sario Utara 0,08 km<sup>2</sup>, Titiwungan Utara 0,16 km<sup>2</sup> dan Titiwungan Selatan 0,02 km<sup>2</sup> dan Kecamatan Wanea hanya Kelurahan Tanjung Batu dengan daerah genangan 0,26 Km<sup>2</sup> tinggi muka air 0,157 – 9,83 m dengan kecepatan 0,02 – 20,98 m/dtk.

2. Debit banjir yang diperoleh dari hasil keruntuhan Waduk Kuwil dipengaruhi oleh

perubahan parameter rekahan dan waktu keruntuhan. Untuk tipe keruntuhan berdasarkan rekahan  $3HD = 195\text{m}$  dengan waktu keruntuhan 30 menit yaitu Piping  $Q1000 = 27157,3 \text{ m}^3/\text{dtk}$  QPMF = 28474  $\text{m}^3/\text{dtk}$ , Overtopping  $Q1000 = 22876,7 \text{ m}^3/\text{dtk}$  QPMF = 26441,7

### Saran

1. Sebaiknya dilakukan juga perhitungan transport sedimen sehingga hasil bisa lebih efektif dalam keruntuhan waduk.
2. Perlu adanya antisipasi bencana untuk mengurangi dampak banjir yang dihasilkan dari keruntuhan Waduk Kuwil

### DAFTAR PUSTAKA

- Brunner, G.W., 2010. Hydraulic Reference Manual. Army. Corps of Engineers. Unites States.
- Chow, V. T., 1989. Hidrolik Saluran Terbuka, Erlangga. Jakarta.
- Istiarto. (2014). *Bahan Ajar Simulasi Aliran Satu Dimensi dengan Bantuan Paket Program Hec-RAS*. Universitas Gadjah Mada. Yogyakarta.
- Lahamendu, V., 2019. Analisis Pengaruh Pembangunan Waduk Kuwil Kawangkoan terhadap Debit Banjir di Hilir Aliran Sungai Tondano, Jurnal Sipil Statik Vol 7, No 5, Universitas Sam Ratulangi, Manado
- Ofananta, Yusuf., Ruzardi., 2018. Analisis Aliran Akibat Keruntuhan Bendungan Gonggang dengan Menggunakan HEC-RAS 4.1.0, Teknik Sipil UII, Yogyakarta.
- US Army Corps Of Engineers. (2010). *User Manual Hec-HMS*. US Army.
- Widiantoro, Hadid., Istiarto, 2017. Penelusuran Banjir akibat Keruntuhan Bendungan Kadumalik Jawa Barat, Teknik Sipil UGM, Yogyakarta.

Halaman ini sengaja dikosongkan